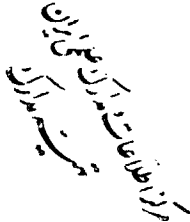


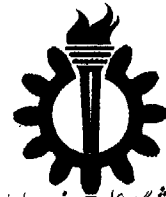
بِسْمِ اللّٰهِ الرَّحْمٰنِ الرَّحِيْمِ

۲۷/۹/۳

۱۳۸۰ / ۸ / ۳۰



بنام خدا



دانشگاه علم و صنعت ایران

دانشکده مهندسی عمران

پایان نامه کارشناسی ارشد - گرایش سازه

## بررسی و ارزیابی قاب‌های با بادبندی هم‌گرا (CBF) از نوع X شکل

۰۱۵۸۶۹

محمد اقبال اخلاقی

استاد راهنمای:

دکتر احمد نیکنام

اسفندماه ۱۳۷۹

۳۷۱۶۳

## تقدیم به:

پدر و مادر عزیزم که دعای خیر آنها، همواره بدرقه راهم،  
خواهر و برادر مهربانم که همفکری شان، یار و یاورم بوده است.

## چکیده

یک سازه در طول عمر مفید خود متتحمل بارهای گوناگونی از جمله بارهای زلزله شدید(MCE) می‌گردد که قرارگیری در محدوده این بارها، بصورت محدود در فلسفه طراحی سازه، منظور شده است. شناخت رفتار لرزه‌ای سازه‌های مقاوم در برابر بارجانبی تحت زلزله‌های شدید(MCE)، بمنظور ارزیابی سیستمهای مختلف، لازم و ضروری است.

در این کار پژوهشی، رفتار لرزه‌ای سیستمهای بادبندی هم‌گرا(CBF) از نوع X شکل، بدليل مصرف بی‌رویه و کاربرد وسیع و چشمگیر آن در صنعت ساختمان، مورد بررسی تحلیلی قرار گرفته است. اعضای اینگونه بادبندها اگر با فرض کششی بودن طراحی گردند و یا اینکه بصورت کششی- فشاری درگیر بار وارد گردند، رفتار لرزه‌ای متفاوتی خواهند داشت. تفاوت عملکرد ناحیه خطی و غیر خطی اعضای ضربدری که یک در میان بصورت کششی و فشاری عمل می‌کنند، ضرورت مدلسازی دقیق و جامع این اعضاء را، ایجاد می‌کند.

این رساله، راه حل پیشنهادی "روش دو عضوی" را جهت مدلسازی رفتار کمانشی عضو فشاری، در سیستمهای بادبندی هم‌گرا(CBF) معرفی کرده و با استفاده از نرم‌افزار تحلیل غیرخطی Ansys 5.4، نتایج قابل قبولی در شناخت رفتار لرزه‌ای این سیستم، گرفته شده است.

رفتار رفت و برگشتی خاص سیستم بادبندی هم‌گرا، در این رساله بررسی و مشاهداتی همچون، تفاوت رفتار لرزه‌ای نیم‌سیکل اول با سایر نیم‌سیکل‌ها، ایجاد پدیده رهاشدگی(مکانیزم) در هر سیکل و تعیین "زمان تأخیر" و "جابجایی بحرانی" متناظر با آن، بعنوان خصوصیات بارز این سیستم معرفی گردید.

تأثیر ضربی لاغری عضو بادبندی در رفتار لرزه‌ای سیستم بادبندی هم‌گرا(CBF) نیز با بررسی مقایسه‌ای قابهای طراحی شده، با بادبندهای دارای ضربی لاغری پس از بررسی مقایسه‌ای قابهای طراحی شده، با بادبندهای دارای ضربی لاغری مناسب جهت استفاده طراحان پیشنهاد شده است. در ادامه، همچنین جهت بهبود رفتار لرزه‌ای این سیستم، سیستم جانبی کمکی "شبیه شورون" بعنوان مکمل سیستم بادبندی هم‌گرا از نوع X شکل، معرفی گردید. با مقایسه نتایج بدست آمده و ضوابط آیین نامه ۲۸۰۰ زلزله ایران، به نظر میرسد، نتایج این تحقیق، موجب تکمیل ضوابط موجود و راهگشایی در جهت تسهیل استفاده از این دستورالعمل‌ها می‌تواند باشد.

## تشکر و قدردانی:

با سپاس از خداوند عز و جل، برخود لازم می‌دانم تا از خدمات دلسوزانه استاد ارجمند، جناب آقای دکتر نیکنام که در طول انجام این پروژه، بنده را یار و راهنمای بودند، صمیمانه سپاسگزاری نمایم. همچنین از آقایان دکتر شناصی و دکتر تهرانی زاده که با حضور خود در جلسه دفاعیه اینجانب و ارائه نظرات روشنی‌بخش خود، موجبات غنای علمی و ارتقای کیفی دفاعیه را فراهم آورده‌اند، کمال تشکر و قدردانی را دارم. در پایان از کلیه دوستان و همکاران محترم که با حضور خود بر اینجانب، منت نهادند، سپاس و قدردانی ارزانی می‌دارم.

امیدوارم این رساله، مورد استفاده کلیه علاقمندان به این موضوع واقع گردد.

۱	<b>فصل اول - کلیات تحقیق</b>
۱	۱-۱- عنوان
۱	۱-۲- تعریف واژه‌ها
۲	۱-۳- بیان مسأله
۲	۱-۴- لزوم انجام تحقیق
۳	۱-۵- هدف تحقیق
۳	۱-۶- فرضیات تحقیق
۴	۱-۷- نوع تحقیق
۴	۱-۸- روش تحقیق
۴	۱-۹- محدودیتهای تحقیق
۵	<b>فصل دوم - رفتار لرزه‌ای سازه‌ها در برابر زلزله</b>
۵	۲-۱- مقدمه
۵	۲-۲- اصول کلی حاکم بر طراحی لرزه‌ای سازه‌ها
۸	۲-۳- تعاریفی در زمینه رفتار لرزه‌ای یک سازه
۸	۲-۳-۱- ظرفیت و نیاز در مباحث لرزه‌ای
۹	۲-۳-۲- مفصل و لنگر پلاستیک
۱۰	۲-۳-۳- شکل پذیری سازه‌ها
۱۳	۲-۳-۴- ضریب تبدیل جابجایی خطی به غیر خطی
۱۳	۲-۴- عوامل موثر بر انتقال حرکت زمین به سازه
۱۴	۲-۵- روش‌های تحلیلی و آزمایشگاهی در بررسی رفتار لرزه‌ای سازه‌ها
۱۵	۲-۵-۱- منحنی هیسترزیس و رفتار رفت و برگشتی سازه‌ها
۲۰	۲-۵-۲- آزمایشات
۲۱	۲-۶- ضریب کاهش نیرو در اثر شکل پذیری
۲۱	۲-۶-۱- فرضیه برابری تغییر مکانها

۲۲	- فرضیه برابری انرژی جذب شده
۲۳	- معیارهای سنجش ایمنی در رفتار لرزه‌ای سازه‌ها
۲۴	- انرژیهای ورودی و مستهلك شده
۲۵	- ضرایب شکل پذیری
۲۵	- اثر انواع زوالها در سازه‌ها
۲۸	- معیارهای خسارت تحمیل شده بر سازه و خرابی آن
۲۸	- اندیس‌های خرابی موضعی
۲۸	- اندیس‌های خرابی کلی
۲۹	<b>فصل سوم - بررسی برخی سیستمهای متداول فولادی با برابر جانبی</b>
۲۹	- مقدمه
۳۰	- سیستم قاب خمشی مقاوم
۳۳	- سیستم‌های مهاربندی
۳۴	- سیستم مهاربندی همگرا (CBF)
۳۷	- مهاربندی با اعضای کششی خارج از محور (OBS)
۳۸	- سیستم مهاربندی واگرا (EBF)
۴۱	- مهاربندی زانویی تعویض پذیر (KBF)
۴۳	- مقایسه سختی جانبی سیستم‌های CBF و EBF و MRF
۴۵	<b>فصل چهارم - رفتار لرزه‌ای سیستمهای فولادی با بادبندی همگرا (CBF)، از نوع ضربدری</b>
۴۵	- مقدمه
۴۸	- پاسخ رفت و برگشتی بادبندهای فولادی
۵۲	- مدلسازی مبتنی بر تئوری رفتار عضو بادبندی
۵۲	- مدلسازی بروش اجزاء محدود
۵۲	- روش لولای پلاستیک (مدل آیکدا و مهین)
۵۲	- حدجاری شدن
۵۳	- معادلات پایه

۵۵	۴-۳-۳-۴- روش معادله دیفرانسیل
۵۶	۴-۴-۳-۴- روش پروتی و اسکارلاسara
۵۸	۴-۴- مدلسازی خسارت موضعی و ماده
۵۸	۴-۱-۴- مدلسازی خسارت ماده
۶۰	۴-۲-۴- مدلسازی خسارت موضعی
۶۰	۴-۵- نیروی پس کمانشی عضو فشاری بادبند
۶۴	۴-۶- ضریب کاهش مقاومت فشاری بادبند - مقاومت کمانشی درسیکلهای متوالی
۶۶	۴-۷- رفتار لرزه ای قابهای فولادی با بادبندی همگرا از نوع X شکل
۶۷	۴-۱-۷- رفتار کششی تنها (T-only CBF)
۶۹	۴-۱-۱-۷- اثر نرخ کرنشی و بار ضربه لرزه‌ای در قابهای با بادبندی همگرا با رفتار فقط کششی
۷۱	۴-۲-۷- رفتار کششی و فشاری
۷۱	۴-۱-۲-۷- تأثیر ضربی لاغری در رفتار قاب با مهاربندی همگرا
۷۷	۴-۲-۲-۷- توزیع دوباره نیرو در حالت غیرخطی
۷۷	۴-۳-۲-۷- ضربی بزرگنمایی دینامیکی برای المانهای مجاور
۷۹	۴-۲-۷-۴- تاثیر انواع اتصالات تیر و ستون در رفتار قاب فولادی با بادبندی همگرا
۸۰	۴-۸- معرفی سیستم CBDS جهت مقابله با مشکلات CBF
۸۱	۴-۹- استفاده از اعضای جذب کننده انرژی جهت مقابله با مشکلات CBF
۸۱	۴-۱-۹- میراگرهای اصطکاکی (FDBF)
۸۳	۴-۲-۹- استهلاک از طریق سیستم اتصالات شیاردار پیچی (SBC)
۸۴	۴-۳-۹- میراگرهای ویسکوالاستیک
۸۵	۴-۴-۹- مقایسه سیستمهای مجهز به میراگر ویسکوالاستیک و میراگر اصطکاکی
۸۶	۴-۵-۹- سیستم های CBF شکل پذیر(DCBF)



۸۹	فصل پنجم - شوری پایداری اعضای فشاری
۸۹	۱-۵ - مقدمه
۹۱	۲-۵ - کمانش ارتجاعی اعضای فشاری
۹۲	۳-۵ - کمانش غیر ارتجاعی اعضای فشاری
۹۲	۴-۳-۵ - خمسم غیر ارتجاعی
۹۰	۲-۳-۵ - ترکیب خمسم غیر ارتجاعی با بار محوری
۹۸	۴-۵ - نظریه مدول دوگانه(کاهش یافته) و نظریه مدول تانژانت(مدول مماسی)
۱۰۱	۵-۵ - مقاومت آزمایشگاهی اعضای فشاری
۱۰۲	۶-۵ - تنش پسماند
۱۰۵	۷-۵ - بررسی نظرات برخی آیین نامه ها در خصوص بار کمانشی
۱۰۶	۱-۷-۵ - معادلات پایه
۱۰۶	۲-۷-۵ - آیین نامه آمریکا
۱۰۷	۳-۷-۵ - آیین نامه های کانادا و آفریقای جنوبی
۱۰۸	۴-۷-۵ - مقایسه بار بحرانی در آیین نامه ها
۱۰۹	۸-۵ - کمانش اعضای فشاری با شرایط انتهاي خاص
۱۱۰	فصل ششم - مدل سازی قابهای فولادی با بادبندی هم گرا، از نوع ضربدری و بررسی رفتار لرزه ای آن
۱۱۰	۱-۶ - مقدمه
۱۱۲	۲-۶ - مدل سازی رفتار کمانش اعضای قطری فشاری در نرم افزار ANSYS
۱۱۲	۱-۲-۶ - روش دو عضوی
۱۱۳	۲-۲-۶ - توصیف گام به گام رفتار لرزه ای رفت و برگشتی اعضای تحت بار محوری
۱۱۴	۳-۲-۶ - معرفی رفتار لرزه ای رفت و برگشتی اعضای قطری به نرم افزار
۱۱۷	۳-۶ - آنالیز دینامیکی قابهای فولادی با بادبندی هم گرا (CBF)، از نوع ضربدری CBF1
۱۱۷	۱-۳-۶ - معرفی مدل سازه

۱۱۹	۶-۳-۲-۲- آنالیز دینامیکی مدل CBF1 و نحوه مدلسازی نیروی کمانشی و پسکمانشی
۱۲۰	۶-۳-۳- توصیف رفتار لرزمای قاب فولادی با بادبندی همگرا (CBF)
۱۲۵	۶-۳-۴- بررسی رفتار لرزمای قاب CBF1 تحت زلزله استریو
۱۲۷	۶-۳-۵- بادبندهای ضربدری با رفتار لرزمای کششی تنها
۱۲۷	۶-۳-۶- مشاهدات بدست آمده از رفتار رفت و برگشتی قابهای با بادبندی همگرا (CBF)
۱۲۹	۶-۴- روش‌های مقابله و رفع مشکلات مربوط به قابهای با بادبندی همگرا (CBF)
۱۳۰	۶-۴-۱- استفاده از قابهای با چند دهانه بادبندی شده
۱۳۲	۶-۴-۲- استفاده از قاب کمکی شبه شورون عنوان مکمل قاب با بادبندی ضربدری (CBF)
۱۳۸	۶-۴-۳- کمانش غیرالاستیک اعضای فشاری عنوان جاذب DD
۱۳۸	۶-۴-۵- کمانش غیرالاستیک اعضای فشاری و مدلسازی آن در برنامه ANSYS
۱۴۴	۶-۶- اثر لاغری بادبند در پارامترهای لرزمای قابهای با بادبندی همگرا (CBF)، از نوع ضربدری
۱۴۷	۶-۶-۱- مدل قاب بادبندی شده CBF1
۱۴۹	۶-۶-۲- مدل قاب بادبندی شده CBF4
۱۵۰	۶-۶-۳- مدل قاب بادبندی شده CBF5
۱۵۳	۶-۶-۴- مقایسه قاب با بادبندی همگرا (CBF)، دارای مکمل شبه شورون با قاب، از نوع ضربدری تنها
۱۵۵	۶-۷- بررسی قاب ۲ طبقه فولادی با بادبندی همگرا (CBF)، از نوع ضربدری
۱۵۶	<b>فصل هفتم - نتیجه‌گیری و پیشنهادات</b>
۱۵۸	ارائه پیشنهادات برای تحقیقات آتی
۱۶۰	فهرست منابع و مراجع

۲	شکل ۱-۱- سطوح مختلف زلزله‌های طراحی در آیین نامه‌ها
۳	شکل ۱-۲- منحنی تنش - کرنش عضو کششی
۶	شکل ۱-۳- منحنی واقعی تنش - کرنش فولاد
۶	شکل ۱-۴- منحنی ایده آل تنش - کرنش فولاد
۷	شکل ۲-۱- منحنی مقایسه رفتار خطی و غیرخطی سیستمهای مقاوم
۹	شکل ۲-۲- تیر دو سر مفصل، تحت اثر بار قائم افزایشی
۹	شکل ۲-۳- منحنی نیرو - جابجایی وسط دهانه تیر مزبور
۹	شکل ۲-۴- نمودار تغییرات کرنش در یک مقطع تحت اثر خممش
۱۰	شکل ۲-۵- منحنی رفتار غیر خطی سازه
۱۱	شکل ۲-۶- ضریب شکل پذیری در رفتار رفت و برگشتی
۱۱	شکل ۲-۷- تعريف تغییر شکل تسلیم.(الف) بر اساس اولین تسلیم،(ب) بر اساس اولین تسلیم،(ج) بر اساس جذب انرژی
۱۲	شکل ۲-۸- قاب با سه درجه نامعینی تحت اثر بار افزایشی
۱۳	شکل ۲-۹- تعیین تغییر مکان غیر خطی سازه بكمک ضریب $C_d$
۱۳	شکل ۲-۱۰- سیستم یک درجه آزادی تحت اثر ارتعاش زمین
۱۵	شکل ۲-۱۱- رفتار واقعی و ایده‌آل سازه تحت بار رفت و برگشتی در محدوده خطی
۱۶	شکل ۲-۱۲- رفتار ایده آل سازه تحت بار رفت و برگشتی در محدوده غیرخطی
۱۷	شکل ۲-۱۳- رفتار سازه تحت بارگذاری افزایشی - پوش هیسترزیس
۱۷	شکل ۲-۱۴- مدل الاستو-پلاستیک
۱۸	شکل ۲-۱۵- مدل الاستو-پلاستیک با کرنش سخت شدگی
۱۸	شکل ۲-۱۶- مدل الاستو-پلاستیک با کرنش نرم شدگی
۱۸	شکل ۲-۱۷- مدل رامبرگ - اسگود
۱۸	شکل ۲-۱۸- مدل سه خطی
۱۹	شکل ۲-۱۹- مدل کلاف - جانسون
۱۹	شکل ۲-۲۰- مدل تاکدا

- ۱۹ شکل ۲-۲۳- مدل لغزشی
- ۱۹ شکل ۲-۲۴- مدل نرمالیزه شده
- ۲۰ شکل ۲-۲۵- رفتار سازه‌ها تحت بار دوره‌ای. الف- رفتار بد، ب- رفتار خوب
- ۲۲ شکل ۲-۲۶- فرضیه برابری تغییر مکان‌ها
- ۲۲ شکل ۲-۲۷- فرضیه برابری انرژی جذب شده
- ۲۲ شکل ۲-۲۸- الف- رفتار سیستم‌های سخت، ب- رفتار سیستم‌های نرم
- ۲۴ شکل ۲-۲۹- چرخه هیسترزیس بار - تغییر مکان
- ۲۶ شکل ۲-۳۰- الف- زوال مقاومت، ب- زوال سختی
- ۲۷ شکل ۲-۳۱- منحنی هیسترزیس بار- جابجایی اتصال بتنی تیر به ستون
- ۲۷ شکل ۲-۳۲- الف- زوال سختی، ب- زوال جمع شدگی، ج- زوال مقاومت
- ۳۰ شکل ۳-۱- قاب صلب و رفتار آن در برابر بار جانبی
- ۳۱ شکل ۳-۲- نمونه‌ای از حلقه‌های هیسترزیس قاب خمشی
- ۳۱ شکل ۳-۳- ناحیه پانلی
- ۳۲ شکل ۳-۴- نمونه‌هایی از اتصالات گیردار
- ۳۲ شکل ۳-۵- رابطه بار- تغییر مکان، برای قاب خمشی تحت بار قائم ثابت و بار افقی صعودی
- ۳۳ شکل ۳-۶- نمایی از اشکال مختلف قاب مهاربندی شده
- ۳۴ شکل ۳-۷- نمایی از اتصال بادبند به قاب بتنی و جزئیات اتصال آن
- ۳۵ شکل ۳-۸- نمونه‌ای از منحنی هیسترزیس قاب مهاربندی شده هم مرکز (CBF)
- ۳۵ شکل ۳-۹- اشکال مختلف قاب هم‌گرا
- ۳۶ شکل ۳-۱۰- نمونه‌ای از رفتار هیسترزیس یک مهاربند معمولی، با قابلیت رفتار فشاری و کششی
- ۳۷ شکل ۳-۱۱- بادبندهای خارجی با مقیاس بزرگتر
- ۳۷ شکل ۳-۱۲- شمایی از مهاربندی با اعضای کششی خارج از محور (OBS)
- ۳۸ شکل ۳-۱۳- دهانه‌های مهاربندی با اعضای کششی خارج از محور (OBS)
- ۳۹ شکل ۳-۱۴- اشکال مختلف قابهای با بادبندی واگرا
- ۳۹ شکل ۳-۱۵- نمونه‌ای از منحنی رفتار هیسترزیس قاب با بادبندی واگرا (EBF)

- ٤٠ شکل ۱۶-۳- تغییرات پرید مدل اول ارتعاش نسبت به  $e/L$
- ٤١ شکل ۱۷-۳- تغییرات مقاومت نهایی جانبی بر حسب  $L/e$
- ٤٢ شکل ۱۸-۳- نحوه اتصال بادبند به عضو زانویی
- ٤٢ شکل ۱۹-۳- مقایسه رفتار دو سیستم EBF و KBF
- ٤٣ شکل ۲۰-۳- مقایسه تغییرات سختی جانبی قاب‌های فولادی
- ٤٧ شکل ۱-۴- نمونه‌ای از رفتار رفت و برگشتی قاب مهاربندی هم‌گرا
- ٤٩ شکل ۲-۴- رفتار رفت و برگشتی عضو قطری بادبند
- ٥٠ شکل ۳-۴- هندسه مدل عضو بادبند
- ٥٠ شکل ۴-۴- اشکال مربوط به نواحی شکل ۲-۴
- ٥١ شکل ۵-۴- رفتار غیر خطی رفت و برگشتی عضو بادبند
- ٥١ شکل ۶-۴- هندسه بادبند و چرخش مفصل پلاستیک در آن
- ٥١ شکل ۷-۴- تاریخچه مدول مماسی بر حسب بار محوری
- ٥٢ شکل ۸-۴- مدل اجزاء محدود برای تحلیل رفتار بادبند
- ٥٣ شکل ۹-۴- منحنی اندرکنش ممان حول دو محور برای مقطع 150UC30
- ٥٥ شکل ۱۰-۴- ایجاد نقص اولیه در مدل معادله دیفرانسیل
- ٥٧ شکل ۱۱-۴- مدل پروتی و اسکارلاسارا
- ٥٩ شکل ۱۲-۴- رابطه تنش و کرنش عضو بادبند با لحاظ کردن پدیده کمانش
- ٦٠ شکل ۱۳-۴- مقادیر پارامتر N و K در روابط فوق
- ٦٢ شکل ۱۴-۴- مدل آکی‌یاما و ریمونیکوف
- ٦٢ شکل ۱۵-۴- دیاگرام نیروی پس کمانشی
- ٦٣ شکل ۱۶-۴- رفتار عضو بادبندی تحت بار رفت و برگشتی
- ٦٥ شکل ۱۷-۴- مدل ایده‌آل رفتار کمانشی بادبند
- ٦٧ شکل ۱۸-۴- مقایسه ضرایب کاهش مقاومت نیروی کمانشی
- ٦٦ شکل ۱۹-۴- تغییر شکل غیر متقارن قاب با بادبندی هم‌گرا
- ٦٧ شکل ۲۰-۴- منحنیهای هیسترزیس بادبندهای با رفتار فقط کششی

۷۰	شکل ۴-۲۱- حلقه‌های هیسترزیس بادبند با رفتار فقط کششی
۷۲	شکل ۴-۲۲- مقایسه نتایج رفتار مدل تحلیلی والپل و مدل آزمایشگاهی
۷۳	شکل ۴-۲۳- تأثیر ضریب لاغری بر رابطه ضریب شکل پذیری و کاهش نیرو
۷۳	شکل ۴-۲۴- تأثیر ضریب لاغری بر میزان جذب انرژی
۷۵	شکل ۴-۲۵- نتایج آزمایشگاهی رفتار سیستم‌های هم‌گرا، انجام شده در دانشگاه میلان
۷۶	شکل ۴-۲۶- مقایسه نمونه‌ای از نتایج رفتار مدل تحلیلی و مدل آزمایشگاهی
۷۹	شکل ۴-۲۷- اثر تیپ اتصالات بر سختی جانبی قاب
۸۲	شکل ۴-۲۸- نمایی از یک میراگر اصطکاکی
۸۲	شکل ۴-۲۹- نحوه مدلسازی میراگر اصطکاکی قابل لغزش
۸۳	شکل ۴-۳۰- عدم تعادل ایجاد شده در اثر ایجاد مفصل پلاستیک در اعضای میراگر
۸۴	شکل ۴-۳۱- نمونه‌ای از قاب مهاریندی با میراگر اصطکاکی پیچی
۸۴	شکل ۴-۳۲- میزان جذب انرژی در میراگرهای اصطکاکی
۸۴	شکل ۴-۳۳- میزان جذب انرژی در بادبند‌های معمولی
۸۵	شکل ۴-۳۴- نمونه‌ای از قاب مهاریندی با میراگر ویسکوالاستیک
۸۵	شکل ۴-۳۵- سیستم‌های مختلف سازه‌ای در مقایسه با میراگرهای
۸۷	شکل ۴-۳۶- مدل بادبند از کمانش جلوگیری شده
۸۷	شکل ۴-۳۷- مقایسه منحنی اسکلتون سیستم DCBF با سیستم‌های دیگر
۸۷	شکل ۴-۳۸- مقایسه منحنی جذب انرژی سیستم DCBF با سیستم‌های دیگر
۸۹	شکل ۵-۱- تعادل پایدار و ناپایدار ستون تحت بار محوری
۹۰	شکل ۵-۲- نمودار بار- جابجایی ستون تحت بار محوری
۹۱	شکل ۵-۳- ستون تحت بار محوری
۹۲	شکل ۵-۴- نمودار تنش - کرنش در خمینه غیر ارجائی
۹۳	شکل ۵-۵- مقطع مربع - مستطیل تحت خمینه
۹۴	شکل ۵-۶- تغییرات $E'$ بر حسب $\Delta$
۹۵	شکل ۵-۷- نمودار تنش - کرنش تحت خمینه غیر ارجائی با بار محوری

- ۹۶ شکل ۵-۸- تغییرات "E" بر حسب  $\Delta$
- ۹۷ شکل ۵-۹- تأثیر ضریب لاغری در مقاومت کمانشی
- ۹۸ شکل ۱۰-۵- مدول الاستیسیته ، مدول تانژانت و مدول کاهش یافته
- ۹۹ شکل ۱۱-۵- توزیع تنش در مقطع عرضی مستطیل
- ۱۰۰ شکل ۱۲-۵- مقطع I شکل
- ۱۰۱ شکل ۱۳-۵- دیاگرام تغییرات مدولهای اولر، تانژانت و کاهش یافته
- ۱۰۲ شکل ۱۴-۵- نتایج آزمایشگاهی در بار کمانشی ستون‌ها
- ۱۰۳ شکل ۱۵-۵- تغییرات تنش پسماند در نیمرخهای نورد شده
- ۱۰۳ شکل ۱۶-۵- تأثیرتنش پسماند در دیاگرام تنش - کرنش مقطع I شکل
- ۱۰۸ شکل ۱۷-۵- دیاگرام مقایسه بار بحرانی در آیین‌نامه‌ها
- ۱۱۲ شکل ۱-۶- دیاگرام تنش - کرنش با مدل‌سازی پدیده کمانش
- ۱۱۳ شکل ۲-۶- دیاگرام پایه مدل دو عضوی
- ۱۱۳ شکل ۳-۶- قاب با بادبندی هم‌گرا
- ۱۱۵ شکل ۴-۶- نواحی مختلف رفتار عضو، تحت کشش و فشار
- ۱۱۶ شکل ۵-۶- فلوچارت تحلیل قاب با سیستم هم‌گرا
- ۱۱۷ شکل ۶-۶- پلان مربوط به قاب CBF1
- ۱۱۸ شکل ۶-۷- قاب طراحی شده CBF1
- ۱۲۱ شکل ۶-۸- نواحی مختلف رفتار عضو بادبند،(نیم سیکل اول، در کشش)
- ۱۲۱ شکل ۶-۹- نواحی مختلف رفتار عضو بادبند،(نیم سیکل اول، در فشار)
- ۱۲۱ شکل ۶-۱۰- نواحی مختلف رفتار عضو بادبند،(نیم سیکل اول، در فشار)
- ۱۲۱ شکل ۶-۱۱- نواحی مختلف رفتار قاب با بادبند هم‌گرا،(تحت تأثیر رفتار لرزه‌ای اشکال فوق)
- ۱۲۲ شکل ۶-۱۲- رفتار لرزه‌ای عضو بادبند،(نیم سیکل اول، در کشش)
- ۱۲۳ شکل ۶-۱۳- رفتار لرزه‌ای عضو بادبند،(نیم سیکل اول، در فشار)
- ۱۲۴ شکل ۶-۱۴- رفتار قاب CBF1 با بادبند هم‌گرا،(تحت تأثیر اشکال ۶-۱۲ و ۶-۱۳)
- ۱۲۶ شکل ۶-۱۵- جابجایی بحرانی مربوط به منطقه رهاسده